

КРАТКИЕ СООБЩЕНИЯ

07

Журнал технической физики, т. 61, в. 9, 1991

© 1991 г.

КОЛЬЦО ФУРЬЕ
С ПОДВИЖНЫМ ПЕРИОДИЧЕСКИМ δ -ИСТОЧНИКОМ

С. В. Клецкий

Принято считать, что основы современной математической физики были заложены Фурье при изучении нагрева тонкого кольца неподвижным точечным источником (задача о кольце Фурье) (см., например, [1]). Естественное и важное в прикладном отношении обобщение этой задачи на случай периодического движения источника по периметру кольца еще не рассматривалось, а между тем оно имеет замечательное точное решение, не встречавшееся ранее в других задачах теплопроводности и диффузии. Рассмотрим следующую краевую задачу:

$$\frac{\partial T}{\partial t} = \frac{a}{R^2} \frac{\partial^2 T}{\partial \varphi^2} + \frac{q}{c\rho\Delta r} \delta_{2\pi}(\varphi - \omega t), \quad (1)$$

$$t > 0, \quad -\pi \leq \varphi \leq \pi,$$

$$T(\varphi, t=0) = 0, \quad (2)$$

$$T(\varphi = -\pi, t) = T(\varphi = +\pi, t), \quad (3)$$

$$\frac{\partial T(\varphi = -\pi, t)}{\partial \varphi} = \frac{\partial T(\varphi = +\pi, t)}{\partial \varphi}. \quad (4)$$

Здесь T — абсолютная температура, t — время, φ — угловая координата, a — коэффициент температуропроводности материала кольца, c — коэффициент его теплоемкости, ρ — плотность, R — радиус кольца, Δr — его толщина ($\Delta r \ll R$), q — мощность источника, ω — угловая скорость его вращения. Периодическую (с периодом 2π) δ -функцию запишем в виде [2]

$$\delta_{2\pi}(\varphi - \omega t) = \sum_{k=0}^{\infty} \delta(\varphi + 2\pi k + \pi - \omega t). \quad (5)$$

Переходя к безразмерным переменным $\tau = \omega t$ и $v = c\rho\Delta r \omega T/q$ и выполняя преобразование Лапласа по времени $y = \int_0^{\infty} \exp(-p\tau) v(\varphi, \tau) d\tau$, получим

$$\frac{d^2 y}{d\varphi^2} + h^2 y + \frac{1}{B} \frac{\exp(-p(\varphi + \pi))}{1 - \exp(-2\pi p)} = 0, \quad (6)$$

$$y(\varphi = -\pi) = y(\varphi = +\pi), \quad y'(\varphi = -\pi) = y'(\varphi = +\pi), \quad (7)$$

где $B = a/\omega R^2$, $h^2 = -(p/B)$.

Решение задачи в изображениях можно представить в виде

$$y = y_1 + y_2 + y_3 = \frac{1}{2B(p^2 + h^2)} \left[\frac{\sin h\varphi}{\sin h\pi} + \frac{p \cos h\varphi}{h \sin h\pi} + \frac{\exp(-p(\varphi + \pi))!}{1 - \exp(-2\pi p)} \right]. \quad (8)$$

Все члены этого решения имеют простые полюса $p=1/B$ (сумма их вычетов равна нулю) и полюса второго порядка $p=0$. Кроме того, два первых члена имеют простые полюса $p = -Bk$, где $k=1, 2, \dots$. Переход к оригиналам для

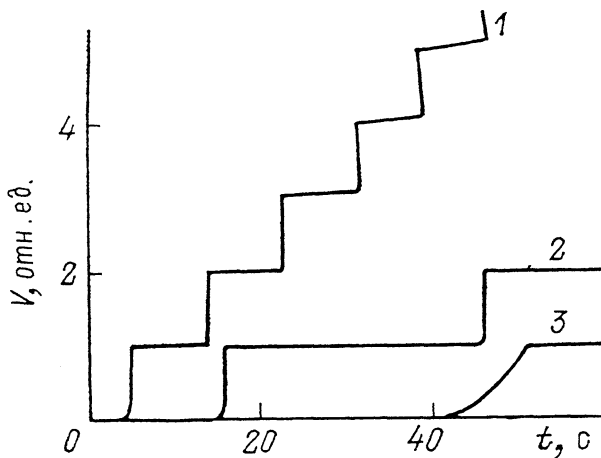
функций y_1 и y_2 осуществляется с помощью теоремы разложения. Оригинал для функции y_3 определим, используя теорему умножения изображений

$$\frac{1}{p-1/B} \quad \text{и} \quad \frac{1}{p(1-e^{-2\pi p})}$$

и после вычисления интеграла свертки теорему запаздывания. Тогда точное решение исходной задачи можно представить в виде

$$v(\varphi, t) = \frac{\varphi - B}{2\pi} + \frac{1}{\pi} \sum_{k=1}^{\infty} \frac{(-1)^k \exp(-Bk^2\tau)}{k(B^2k^2 + 1)} (\sin k\varphi - Bk \cos k\varphi) + \left[\frac{\tau - \varphi - \pi}{2\pi} \right] + 1 + \frac{\exp\left(-\frac{2\pi}{B} \left(1 - \left\{ \frac{\tau - \varphi - \pi}{2\pi} \right\}\right)\right)}{1 - \exp(2\pi/B)}. \quad (9)$$

Здесь квадратные скобки означают целую часть числа, фигурные — дробную часть числа. Если два первых члена в этом решении имеют обычный «диффу-



Изменение относительной температуры точки $\varphi=0$ кольца во времени для трех различных угловых скоростей движения δ -источника.

ω , 1/с: 1 — 0.7, 2 — 0.2, 3 — 0.06.

зионный» вид, то последующие разрывные члены ранее не встречались в задачах математической физики и не содержатся в перечне известных типов точных решений линейных параболических уравнений [1]. Экспоненциальный член с периодическим показателем («периодическая» экспонента) описывает изменение температуры данной точки на интервале времени между двумя последовательными контактами с подвижным источником. Целочисленный член, нумерующий число контактов с течением времени, обеспечивает подъем каждого экспоненциального участка решения на единицу относительной температуры. На больших временах сумма этих разрывных членов полностью определяет непрерывное решение задачи в виде бесконечной последовательности «состыкованных» экспонент

$$v(\varphi, \tau \rightarrow \infty) \sim \left[\frac{\tau - \varphi - \pi}{2\pi} \right] + \frac{\exp\left(-\frac{2\pi}{B} \left(1 - \left\{ \frac{\tau - \varphi - \pi}{2\pi} \right\}\right)\right)}{1 - \exp(-2\pi/B)}.$$

Характерный вид изменения относительной температуры точки $\varphi=0$ во времени для трех различных значений угловой скорости ω приведен на рисунке ($B=0.01$). Видно, что увеличение угловой скорости приводит к более интенсивной периодической подкачке энергии и, следовательно, более быстрому повышению средней температуры кольца. Кроме того, с ростом ω температурные зависимости приобретают все более «целочисленный» вид, определяемый относительным увеличением показателя «периодической» экспоненты. Для значе-

ния $\omega \geq 0.7$ 1/с угол «стыковки» между соседними экспоненциальными участками практически не отличается от прямого.

Возможны различные физические интерпретации рассмотренной задачи. Это, например, качение цилиндрических тел по греющей плоскости, тепловые расчеты разнообразных физико-технических устройств, диффузия неравновесных носителей в кольцевой полупроводниковой пленке, облучаемой «скользящим» по ней лазерным пучком, и др.

В заключение автор приносит благодарность А. А. Серикову за полезное обсуждение работы.

Список литературы

- [1] Карслоу Х. С., Егер Д. К. Теплопроводность твердых тел. М.: Наука, 1964. 427 с.
[2] Владимиров В. С. Обобщенные функции в математической физике. М.: Наука, 1979. 318 с.

Институт полупроводников АН УССР
Киев

Поступило в Редакцию
4 декабря 1990 г.

03; 04

Журнал технической физики, т. 61, в. 9, 1991

© 1991 г.

ИЗМЕНЕНИЕ ПАРАМЕТРОВ УДАРНО НАГРЕТОЙ ПЛАЗМЫ В РЕЖИМЕ РАЗВИТИЯ В НЕЙ ПЕРВОГО ТИПА НЕУСТОЙЧИВОСТИ

Г. К. Тумакаев, Э. А. Степанова, П. В. Григорьев

Первый тип неустойчивости ударно нагретой плазмы [1] развивается в узком диапазоне изменения интенсивности падающей ударной волны: в ксеноне при $M \sim 8.3 \pm 0.5$ [2, 3], в аргоне это явление наблюдалось при $M \sim 10.5$ [4]. Для рассматриваемого процесса характерно строго периодическое изменение интенсивности излучения ударно нагретой плазмы в релаксационной зоне потока с глубоким уровнем модуляции амплитуды сигнала ($\Delta A \sim 40\%$) и частотой колебания $F \sim 30$ кГц, причем в экспериментах не обнаружено различие в характере изменения интенсивности излучения в спектральных линиях и континууме видимого и ИК диапазонов длин волн. Природа развития неустойчивости ударно нагретой плазмы до настоящего времени неясна.

В результате проведенных исследований впервые одновременно получена информация об изменении интенсивности излучения плазмы и данные о распределении концентрации электронов и плотности газа в потоке за фронтом ударной волны в режиме развития неустойчивости первого типа ударно нагретой плазмы ксенона.

Исследования проведены в диапазоне изменения чисел Маха падающей ударной волны от 6.5 до 8.6. Начальное давление ксенона перед ударной волной в обсуждаемой серии экспериментов оставалось неизменным и равным $P = 16.7$ Тор. Парциальное давление примесных добавок молекулярных газов не превышало $5 \cdot 10^{-4}$ Тор. Эксперименты производились на ударной трубе с цилиндрическим каналом камеры низкого давления. Диаметр внутреннего сечения трубы 100 мм. Степень предварительной откачки системы $5 \cdot 10^{-5}$ Тор. Примесные добавки, а также следы остаточных газов перед каждым экспериментом перемешивались с исследуемым газом путем многократной прокачки смеси в закольцованном тракте с помощью двуроторного компрессора. Измерительное сечение расположено в 40 калибрах от диафрагмы, разделяющей камеры низкого и высокого давлений.

Для определения концентрации нормальных атомов (плотности) и электронов в потоке за фронтом ударной волны использовался двухволновой ла-